

Академик Б. И. ПЕТРОВ, В. А. БОДНЕР, К. Б. АЛЕКСЕЕВ

АНАЛИТИЧЕСКОЕ РЕШЕНИЕ ЗАДАЧИ УПРАВЛЕНИЯ
ПРОСТРАНСТВЕННЫМ ПОВОРОТНЫМ МАНЕВРОМ

1. Управление ориентацией летательных аппаратов посредством одного поворота вокруг некоторой оси ⁽¹⁾ обладает лучшими потенциальными возможностями по сравнению с обычно применяемыми тремя последовательными поворотами относительно ортогональных осей, связанных с аппаратом. В заметке дано аналитическое решение задачи синтеза алгоритма управления ориентацией. Для этого применен принцип экстенсивного управления, заключающийся в выборе ограниченного по величине вектора управляющего момента $M = \|M_1, M_2, M_3\|^T$ из условия движения аппарата относительно заданной оси при приложении составляющих момента M_i по связанным осям аппарата.

2. Введем три системы координат с началом в центре масс аппарата: инерциальную X_i (здесь и в дальнейшем $i = 1, 2, 3$), связанную с аппаратом x_i , и вспомогательную ξ_i . Угловое положение аппарата в системе X_i определяется углами Эйлера ψ_i (рис. 1). Матрица преобразования $X_i \rightarrow x_i$ имеет вид

$$\alpha = \|\alpha_{ij}\|, \quad (1)$$

где α_{ij} — функции углов ψ_i .

Угол φ поворота аппарата вокруг оси, заданной единичным вектором e_φ , и ориентация этого вектора определяются

$$\varphi = \arccos(\text{Sp } \alpha - 1) / 2, \quad e_\varphi = \|v_1, v_2, v_3\|^T, \quad (2)$$

где $v_i = \frac{\alpha_{i+1, i+2} - \alpha_{i+2, i+1}}{2 \sin \varphi}$, $\text{Sp } \alpha = \sum_{i=1}^3 \alpha_{ii}$ — след матрицы α .

Совместим ось ξ_1 вспомогательной системы с вектором e_φ . Обозначим единичные векторы осей ξ_i через e_i , причем $e_1 = e_\varphi$. Матрица преобразования $x_i \rightarrow \xi_i$ имеет вид

$$v = \|v_{ij}\|, \quad (3)$$

где $v_{11} = v_1$, а v_{12}, \dots, v_{33} — любые числа, при которых матрица α ортогональна.

Тензор инерции I_ξ аппарата в системе ξ_i будет

$$I_\xi = v I_x v^T, \quad (4)$$

где $I_x = \begin{pmatrix} J_1 & 0 & 0 \\ 0 & J_2 & 0 \\ 0 & 0 & J_3 \end{pmatrix}$, J_1, J_2, J_3 — главные моменты инерции аппарата.

Пусть вектор угловой скорости аппарата ω совпадает с вектором e_φ , т. е.

$$\omega = \varphi e_\varphi. \quad (5)$$

При выполнении этого условия вектор кинетического момента аппарата будет

$$K = J_k \varphi e_\varphi, \quad (6)$$

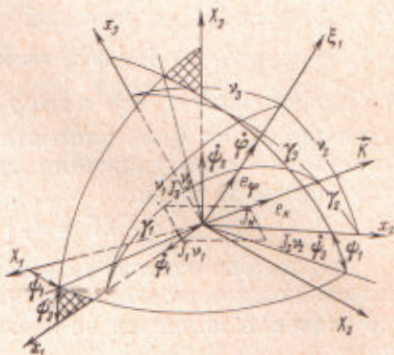


Рис. 1

где $J_K^2 = \sum_{i=1}^3 J_i^2 v_i^2$, $e_K = \sum_{i=1}^3 \gamma_i e_i$ — единичный вектор, $\gamma_i = J_i v_i / J_K$ — направляющие косинусы, e_i — единичные векторы осей x_i .

Из выражения γ_i следует, что вектор кинетического момента динамически несимметричного аппарата \mathbf{K} не совпадает с осью e_φ . Определим составляющие этого вектора на направление оси e_φ и на направление e_ϑ , перпендикулярное к оси вращения

$$K_\varphi = \mathbf{K} \cdot e_\varphi = J_\varphi \ddot{\varphi}, \quad K_\vartheta = \mathbf{K} \cdot e_\vartheta = J_\vartheta \dot{\varphi}, \quad J_\varphi = J_{11} = \sum_{i=1}^3 J_i v_i^2,$$

$$J_\vartheta^2 = \sum_{i=1}^3 (J_{i+1} - J_{i+2})^2 v_{i+1}^2 v_{i+2}^2. \quad (7)$$

Уравнение движения аппарата в форме Эйлера с учетом (5) будет

$$d\mathbf{K} / dt + \varphi e_\varphi \times \mathbf{K} = \mathbf{M}. \quad (8)$$

Искомый вектор управляющего момента \mathbf{M} должен обеспечить вращение аппарата вокруг заданной оси e_φ . Преобразуем (8) с учетом (6) и (7)

$$J_K \ddot{\varphi} e_K + J_\vartheta \dot{\varphi}^2 e_\Gamma = \mathbf{M}, \quad e_\Gamma = e_\varphi \times e_K / |e_\varphi \times e_K|. \quad (9)$$

Отсюда следует, что вектор \mathbf{M} должен обеспечить требуемый закон движения $\mathbf{M}_1 = J_K \ddot{\varphi} e_\varphi$ аппарата вокруг оси e_φ и скомпенсировать возникающий при этом движении гироскопический момент $\mathbf{M}_2 = J_\vartheta \dot{\varphi}^2 e_\Gamma$. Модуль вектора \mathbf{M} равен

$$M = J_K |\ddot{\varphi}| (1 + J_\vartheta^2 \dot{\varphi}^4 / J_K^2 \ddot{\varphi}^2)^{1/2}. \quad (10)$$

Ориентацию вектора \mathbf{M} в связанной системе координат зададим тремя направляющими косинусами $\beta_1, \beta_2, \beta_3$. Если M_{mi} — максимально допустимое значение моментов по связанным осям, то составляющие моментов будут

$$M_i = M_{mi}, \quad M_{i+1} = M_{mi} |\beta_{i+1}| / \beta_i^*, \quad M_{i+2} = M_{mi} |\beta_{i+2}| / \beta_i^*, \quad (11)$$

где β_i^* — максимальное значение направляющего косинуса вектора \mathbf{M} в системе x_i .

Моменты M_i по связанным осям необходимо выбрать так, чтобы аппарат совершал маневр вокруг оси e_φ на угол φ за время T , причем

$$\varphi(0) = -\varphi_0, \quad \dot{\varphi}(0) = 0, \quad \varphi(T) = \varphi(T) = 0, \quad (12)$$

при минимально возможных энергетических затратах Q

$$Q = M_{mi} \int_0^T \left(1 + \frac{|\beta_{i+1}| + |\beta_{i+2}|}{\beta_i^*} \right) dt. \quad (13)$$

3. Вводя в рассмотрение угол θ между векторами управляющего \mathbf{M} и кинетического \mathbf{K} моментов, представим уравнение (9) в скалярной форме

$$\ddot{\varphi} = \pm \frac{M}{J_K} \cos \theta, \quad \dot{\varphi}^3 = \frac{M}{J_\vartheta} \sin \theta, \quad (14)$$

откуда

$$\operatorname{tg} \theta = J_\vartheta \dot{\varphi}^2 / J_K \ddot{\varphi}. \quad (15)$$

Для получения направляющих косинусов β_i спроектируем уравнение (8) на оси связанной системы

$$J_i v_i \ddot{\varphi} + (J_{i+2} - J_{i+1}) v_{i+1} v_{i+2} \dot{\varphi}^2 = M_i \quad (16)$$

и воспользуемся выражениями (10) и (15); тогда

$$\beta_i = (\tilde{a}_i + \tilde{b}_i \operatorname{tg} \theta) \cos \theta, \quad \tilde{a}_i = (J_i v_i / J_n) \operatorname{sign} \ddot{\varphi}, \\ \tilde{b}_i = (J_{i+2} - J_{i+1}) v_{i+1} v_{i+2} / J_\vartheta. \quad (17)$$

С учетом (17) уравнения (14) примут вид

$$\begin{aligned} \ddot{\varphi} &= \pm M_{mi} / J_{\kappa} (\tilde{a}_i + \tilde{b}_i \operatorname{tg} \theta), \\ \dot{\varphi}^2 &= M_{mi} \operatorname{tg} \theta / J_{\kappa} (\tilde{a}_i + \tilde{b}_i \operatorname{tg} \theta). \end{aligned} \quad (18)$$

Выбор текущего значения угла θ должен производиться из условия совместности уравнений (18), которое сводится к уравнению

$$d\theta / \cos^2 \theta \sqrt{(\tilde{a}_i + \tilde{b}_i \operatorname{tg} \theta) \operatorname{tg} \theta} = (2\sqrt{M_{mi} J_{\kappa}} / a_i J_{\kappa}) d\tau, \quad (19)$$

и решение которого можно представить в виде

$$\operatorname{tg} \theta = \begin{cases} (a_i/b_i) \sin^2 nt & \text{при } \beta_i^* = (a_i - b_i \operatorname{tg} \theta) \cos \theta, \\ (a_i/b_i) \operatorname{sh}^2 nt & \text{при } \beta_i^* = (a_i + b_i \operatorname{tg} \theta) \cos \theta, \end{cases} \quad (20)$$

где $a_i = |\tilde{a}_i|$, $b_i = |\tilde{b}_i|$, $n = \sqrt{M_{mi} b_i J_{\kappa}} / J_{\kappa} a_i$.

Подставляя значение $\operatorname{tg} \theta$ из (20) в (18), получим

$$\varphi = \begin{cases} m/\cos^2 nt & \text{при } \beta_i^* = (a_i - b_i \operatorname{tg} \theta) \cos \theta, \\ m/\operatorname{ch}^2 nt & \text{при } \beta_i^* = (a_i + b_i \operatorname{tg} \theta) \cos \theta, \end{cases} \quad m = M_{mi} / J_{\kappa} a_i. \quad (21)$$

Уравнение (21) с учетом граничных условий (12) характеризует динамические свойства аппарата при экстенсивном управлении. Для синтеза системы экстенсивного управления применим принцип максимума Понтрягина (2).

4. Время переключения $t_1 \in (0, T)$ максимального по величине управляющего момента находится из решения уравнений (21) и 12



Рис. 2

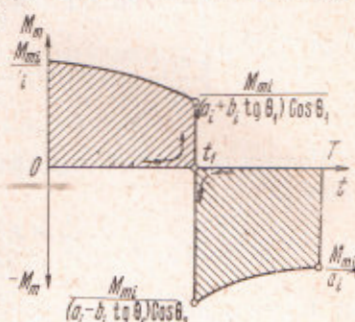


Рис. 3

Не нарушая общности, положим, что \tilde{a}_i и \tilde{b}_i одного знака, поэтому решение уравнения (21) при $t \leq t_1$ будет

$$\varphi = (m/n) \operatorname{tg} nt, \quad \dot{\varphi} = -\varphi_0 + (m/n^2) \ln \operatorname{ch} nt. \quad (22)$$

При $t = t_1$, когда $\theta_1 = \operatorname{arc} \operatorname{tg} ((a_i/b_i) \operatorname{sh}^2 nt_1)$, происходит переключение управляющего воздействия. При этом составляющая $M_1 = J_{\kappa} \dot{\varphi}$ момента M изменяется по величине и направлению, тогда как направление составляющей $M_2 = J_{\kappa} \varphi^2$ остается неизменным.

Из условия компенсации гироскопического момента

$$M_2 = J_{\kappa} \varphi^2 = M_m \sin \theta \quad (23)$$

при $M_m = M_{mi} / (a_i + b_i \operatorname{tg} \theta_1) \cos \theta_1$ или $M_m = M_{mi} / (a_i - b_i \operatorname{tg} \theta_2) \cos \theta_2$ получаем

$$\operatorname{tg} \theta_2 = \frac{a_i}{b_i} \frac{\operatorname{sh}^2 nt_1}{1 + 2 \operatorname{sh}^2 nt_1}. \quad (24)$$

Определение угла θ при $t > t_1$ с учетом начального значения $\theta_2(t) = \theta_2$ производится из выражения

$$\operatorname{tg} \theta = (a_i/b_i) \sin^2 [n(t - t_1) - \kappa], \quad (25)$$

где $\kappa = \operatorname{arc} \operatorname{tg} (\operatorname{th} nt_1)$. Поскольку $\theta(T) = 0$, то из (25) находим

$$\operatorname{tg} n(T - t_1) = \operatorname{th} nt_1. \quad (26)$$

Для получения второго уравнения, связывающего искомые величины T и t_1 , решим уравнение движения (24) для $t_1 \leq t \leq T$. В этом случае

$$\begin{aligned} \dot{\varphi} &= -\frac{m}{\cos^2 [n(t-t_1) - \alpha]}, & \dot{\psi} &= \dot{\psi}_1 - \frac{m}{n} \{ \operatorname{tg} [n(t-t_1) - \alpha] + \operatorname{th} nt_1 \}, \\ \varphi &= \varphi_1 + \left(\dot{\varphi}_1 - \frac{m}{n} \operatorname{th} nt_1 \right) (t-t_1) + \frac{m}{n^2} \left\{ \operatorname{In} \frac{\cos [n(t-t_1) - \alpha]}{\cos \alpha} \right\}. \end{aligned} \quad (27)$$

Полагая в (27) $t = T$ и пользуясь (12), находим

$$\frac{\operatorname{ch} nt_1}{\cos n(T-t_1)} = \exp\left(\frac{n^2}{m} \varphi_0\right). \quad (28)$$

Из (26) и (28) в предположении, что β_i^* максимально в течение всего процесса управления, получаем время переключения t_1 и минимальное время T_m поворота аппарата на угол φ_0

$$\begin{aligned} t_1 &= (1/n) \operatorname{arc} \operatorname{th} \lambda, & T_m &= (1/n) (\operatorname{arc} \operatorname{tg} \lambda + \operatorname{arc} \operatorname{th} \lambda), \\ \lambda^2 &= \operatorname{th} (n^2/m) \varphi_0. \end{aligned} \quad (29)$$

Выражения для моментов по осям аппарата, обеспечивающих поворот за минимальное время вокруг оси e_φ , имеют вид

$$\begin{aligned} M_i &= M_{mi}, \\ M_{i+1} &= M_{mi} \begin{cases} \frac{\tilde{a}_{i+1}}{a_i} \operatorname{ch}^{-2} nt + \frac{\tilde{b}_{i+1}}{b_i} \operatorname{th}^2 nt & \text{при } 0 \leq t \leq t_1, \\ \frac{\tilde{a}_{i+1}}{a_i} \cos^{-2} [n(t-t_1) - \alpha] + \frac{\tilde{b}_{i+1}}{b_i} \operatorname{tg}^2 [n(t-t_1) - \alpha] & \text{при } t_1 \leq t \leq T. \end{cases} \end{aligned} \quad (30)$$

Расход рабочего вещества на управление в соответствии с (13) и (30) будет

$$Q = M_m \left\{ T + \sum_{i=1}^3 \left[\frac{\tilde{a}_{i+1}}{a_i} \operatorname{th} nt_1 + \frac{\tilde{b}_{i+1}}{b_i} \left(t_1 + \frac{a_i \operatorname{th} nt_1}{nb_i (1 + \operatorname{th} nt_1)} \right) \right] \right\}, \quad (31)$$

где M_m — максимальный момент, принятый одинаковым по трем осям.

На рис. 2 дана траектория движения изображающей точки на фазовой плоскости, на рис. 3 показан характер изменения модуля вектора управляющего момента.

Перевод аппарата из начального $\varphi(0) = -\varphi_0$, $\dot{\varphi}(0) = 0$ в конечное $\varphi(T) = \varphi_0$, $\dot{\varphi}(T) = 0$ положение за заданное время T_3 требует двух переключений максимального по величине управляющего момента M_m . Если обозначить моменты переключения t_1 и $t_1 + t_2$, причем $T_3 = t_1 + t_2 + t_3$,

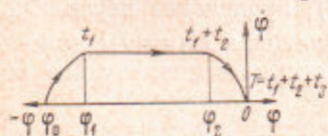


Рис. 4

где t_3 — время торможения аппарата (рис. 4) и применить изложенную выше методику исследования, то получим уравнения для определения t_1 , t_2 и t_3

$$\begin{aligned} T_3 &= t_1 + t_2 + t_3, & \operatorname{th} nt_1 &= \operatorname{tg} nt_1, \\ \operatorname{ch} nt_1 / \cos nt_3 &= \exp[(n^2/m) \varphi_0 - nt_2 \operatorname{th} nt_1], \end{aligned} \quad (32)$$

Реализация алгоритма оптимального экстенсивного управления должна производиться на бортовом вычислительном устройстве, в котором определяются направление оси вращения, величина и знак результирующего угла поворота и формируются управляющие моменты по связанным осям. При этом может быть обеспечено либо минимальное время поворотного маневра, либо минимальный расход рабочего тела за заданное время.

Поступило
12 III 1970

ЦИТИРОВАННАЯ ЛИТЕРАТУРА

¹ Дж. Синг, Классическая динамика, М., 1963. ² Л. С. Понтрягин и др. Математическая теория оптимальных процессов, М., 1961.